# 2025年臺灣國際科學展覽會 優勝作品專輯

作品編號 030022

參展科別 化學

作品名稱 二氧化鋯量子點在文物修復與減碳科技應用的

潛力

就讀學校 屏東縣立枋寮高級中學

指導教師 李承典

張簡琦麗

作者姓名 鄒秉淳

楊梓吟

關鍵詞 二氧化鋯量子點、二氧化碳轉換率、熱催化

## 作者簡介



我們是來自屏東縣立枋寮高中的鄒秉淳和楊梓吟,熱愛動手實作與探索自然 科學的奧秘,十分高興能有機會參與這項研究,此研究主題讓我們深入探討了二 氧化鋯量子點的特性,並將其應用在古蹟的修護和減少碳排放,過程中,我們經 歷了無數次的實驗與挑戰,感謝老師、教授及學長的指導,使我們得以產出這項 研究。

## 2025 年臺灣國際科學展覽會

## 研究報告

區別:南區(編號由國立臺灣科學教育館統一填列)

科別: 化學科

作品名稱:二氧化鋯量子點在文物修復與減碳科技應用的潛力

關鍵詞: 二氧化鋯量子點、二氧化碳轉換率、熱催化(最多三個)

## 編號:

(編號由國立臺灣科學教育館統一填列)

## 摘要

本研究成功以水熱法在  $110^{\circ}$ C 下合成了約 3.90 nm 大小的  $ZrO_2$  量子點( $QD_8$ )。此設計的  $ZrO_2$   $QD_8$  能隙為 5.03 eV(波長  $\lambda < 300$  nm),在可見光和紫外光範圍內無明顯吸收特徵,呈現高度惰性和穩定性,適合應用於抗紫外線塗層或顏料。而  $ZrO_2$   $QD_8$  表面豐富的氧空位與不同溫度下的  $CO_2$ 轉化率及  $CO/CH_4$ 產物選擇性相關。氧空位為帶部分正電的酸性活性位, $CO_2$  作電子受體為路易士酸。經氧氣環境加熱處理後的  $ZrO_2$   $QD_8$  能提高  $CO_2$  轉化率且在低溫條件下選擇性較高能促進電子轉移生成  $CH_4$  (每分子  $8e^-$  轉移)。不同金屬簇(如  $Fe \cdot Ni \cdot Co$  和 Cu)表面修飾後, $Fe - ZrO_2$   $QD_8$  被證明為最佳催化劑,低溫下更有效促進  $CH_4$ 生成,且優於  $ZrO_2$   $QD_8$  。這顯示 Fe 與  $ZrO_2$  間存在顯著的強金屬-載體相互作用(SMSI),提升 Fe 捕捉  $CO_2$ 分子的能力。此特性突顯  $ZrO_2$  於碳減排技術的潛力,能有效將  $CO_2$ 轉化為可再利用的碳基燃料或化學原料,為減少溫室氣體提供實用解決方案。

#### **Abstract**

In this study, ZrO<sub>2</sub> quantum dots (QDs) with an approximate size of 3.90 nm were successfully synthesized at 110°C using a hydrothermal method. The energy bandgap of ZrO<sub>2</sub> QDs, based on our design, was manipulated to 5.03 eV (wavelength  $\lambda$  < 300 nm) that shows no significant absorption feature in the regions of visible and ultraviolet energy and hence inert and stable under solar light. This renders them a kind of suitable material for the applications in UV-resistant coatings or pigments. In addition, the abundance of oxygen vacancies over the surfaces of ZrO<sub>2</sub> QDs oxygen was also found correlative with the rate CO<sub>2</sub> conversion and product selectivity of CO/CH<sub>4</sub> at different temperatures. The oxygen vacancies have been known the acidic active sites with positive charges and CO2 molecules are of Lewis acid which denotes the electron acceptor. As a result, the ZrO<sub>2</sub> QDs after heating treatment under O2 environment triggered not only a higher CO2 conversion rate but also more efficient electron transfer to generate CH<sub>4</sub> (8e<sup>-</sup> transfer per molecule) in a higher product selectivity at low temperatures. Upon the surface modifications with different metallic clusters of Fe, Ni Co, and Cu, the Fe-ZrO<sub>2</sub> QDs was found the most efficient catalyst promoting the formation of CH<sub>4</sub> at low temperatures, even better than the pristine ZrO<sub>2</sub> QDs. It indicates the existence of significant strong metal-support interaction (SMSI) between Fe and ZrO<sub>2</sub>, by which the Fe facilitates the capture of CO2 molecules over the catalyst active sites. This property highlights the potential of ZrO<sub>2</sub> in carbon reduction technologies, enabling the conversion of CO<sub>2</sub> into reusable carbon-based fuels or chemical feedstocks, offering a practical and effective approach to reducing greenhouse gases.

## 壹、前言

#### 一、研究動機

古蹟作為歷史文化的重要象徵,承載著豐富的歷史記憶與文化價值。古蹟上的塗料是保護與維護這些珍貴遺產的重要一環。然而,隨著氣候變遷使得環境溫度隨之急遽改變,對於保護文化資產之塗料的脆化問題越來越嚴重,這使得古蹟的修復間隔變得愈加頻繁。修復工作不僅耗費大量的人力物力,也使得相關的經濟成本不斷增加,古蹟的保存變得愈加困難。因此,我們決定深入探討是否存在可替代的塗料,以降低脆化的機會。目前,古蹟上使用的主要塗料白色底漆是 TiO2 奈米粉體(鈦白粉)與高分子載色體混合製成。TiO2 奈米粉因其優良的光觸媒性能,能在陽光的照射下進行催化反應,但這也使得它會因此逐漸破壞高分子載色體,在長時間暴露於陽光下容易導致底漆脆化,進而導致塗層的老化和剝落。基於這一點,我們考慮用 ZrO2 來替代 TiO2。ZrO2 其能隙吸收能量範圍不在太陽光波長,因而不具備光觸媒效應,理論上,它在陽光照射下的脆化速度應該會比 TiO2 慢。因此,我們希望通過使用白色的 ZrO2 作為替代材料,來提高古蹟塗料的耐久性,從而降低維護和修復的頻率,減少相關的經濟支出,使古蹟的保存工作變得更加可行。

近年來,全球氣候變化問題日益嚴峻,溫室效應異常加劇,導致全球暖化現象愈加嚴重。自工業革命以來,全球溫度每年都有所上升,這一趨勢表明了溫室氣體排放對地球氣候系統的深遠影響。特別是 CO2,作為主要的溫室氣體之一,其排放量的增加成為了全球關注的焦點。人類活動是 CO2增加的主要原因,包括燃燒化石燃料、工業排放、交通運輸等。儘管國際社會已經做出了一系列努力來應對這一問題,國際組織也相繼制定了各種應對措施,例如 1992 年簽署的《聯合國氣候變遷綱要公約》,隨後的《京都議定書》以及現行的《巴黎協定》,這些協議都提出了減少溫室氣體排放的目標,並設定了到 2050 年達到淨零排放的長遠目標。然而,儘管這些協議已經存在,CO2的排放量依然在持續上升,顯示出當前措施在遏制排放方面的困難。為了真正有效地減少 CO2的排放量,我們可以從根本上解決這一問題,即設法完全不排放 CO2。然而,這在當前技術水準和經濟條件下仍然非常困難,因為它需要巨額的資金投入和先進的技術支持。在日常生活中,我們無法完全脫離碳排放。例如在台灣,超過 80%的電力來源仍來自火力發電、汽車和機車的排放、工廠的排放以及森林的砍

伐等行為也都在持續增加 CO<sub>2</sub> 的濃度。除了從源頭減少 CO<sub>2</sub> 的排放外,我們還可以在 CO<sub>2</sub> 產生後進行捕捉和處理。這包括將 CO<sub>2</sub> 捕捉到特定裝置中,並通過技術手段對其進行再利用,如氫化反應,將 CO<sub>2</sub> 轉化為 CH<sub>4</sub>、CO 等具有再利用價值的化合物。ZrO<sub>2</sub> 被認為具有良好的催化性能,能夠在 CO<sub>2</sub> 還原過程中發揮有效作用,有助於減少 CO<sub>2</sub>排放並促進其再利用。因此,我們決定探索使用 ZrO<sub>2</sub> 作為 CO<sub>2</sub> 還原反應的催化劑。

## 二、研究目的

- (一)尋求新世代的文物修復塗料
- (二)發展能有效熱減碳的觸媒科技
- (三)檢視量子點材料於上述兩項應用發展的優勢

## 貳、研究設備及器材

### 一、 實驗設備與器材

- 1. 烘箱
- 2. 電子秤
- 3. 離小機
- 4. 超音波震盪器
- 5. 加熱電磁攪拌器
- 6. 水熱釜
- 7. 紫外線/可見光(UV-Vis)分光光譜儀
- 8. 高溫反應釜
- 9. 氣象層析儀 GC system, Agilent Technoligies 7890B
- 10. CO<sub>2</sub> 鋼瓶(純度 99.999%), 慶豐氣體
- 11. H<sub>2</sub>鋼瓶(純度 99.9995%), 慶豐氣體
- 12. He 鋼瓶(純度 99.9995%), 慶豐氣體
- 13. 零級空氣,慶豐氣體

- 14. 5% H<sub>2</sub>+95% He 鋼瓶, 慶豐氣體
- 15. O<sub>2</sub>鋼瓶(純度 99.999%), 慶豐氣體
- 16. 高溫管式爐
- 17. XRD 儀器
- 18. 光催化裝置



圖1:紫外線/可見光(UV-Vis)分光光譜儀主要用於測量物質在紫外線(190-400 nm)和可見光(400-800 nm)範圍內的光吸收特性。(研究者拍攝)



圖 2: 氣相層析儀 GC system 分離和定量分析揮發性化合物。 (研究者拍攝)



圖 3: XRD 儀器

研究材料在不同條件下(如溫度、壓力) 檢測材料的晶體結構和組成,並分析材料 的晶體缺陷和應力。(研究者拍攝)



圖 4:光催化裝置

利用光能激發光觸媒的電子促進材料 進行化學反應的系統。 (研究者拍攝)

### 二、藥品

- 1. 二氯氧化鋯 ZrOCl<sub>2</sub>·8H<sub>2</sub>O
- 2. 雙氧水 H<sub>2</sub>O<sub>2</sub> (aq)
- 3. DI 7K
- 4. 丙酮 CH<sub>3</sub>COCH<sub>3</sub>
- 5. 氯化鐵 FeCl<sub>3</sub>
- 6. 六水合氯化鈷 CoCl<sub>2</sub>·6H<sub>2</sub>O
- 7. 六水合氯化鎳 NiCl<sub>2</sub>·6H<sub>2</sub>O
- 8. 氯化銅 CuCl<sub>2</sub>
- 9. 乙醇 C<sub>2</sub>H<sub>5</sub>OH
- 10. 合成樹脂 Paraloid B-72
- 11. 氨水 NH<sub>3</sub>

## 參、研究過程與方法

一、ZrO2 QDs 的製備

#### (一)原理

以水熱法製作 ZrO2 粉末

$$ZrOCl_2+H_2O \rightarrow ZrO_2+2HCl$$

#### (二)步驟

- (1) 將 3.825 g 的 ZrOCl<sub>2</sub>·8H<sub>2</sub>O 溶於 60 ml 的水中,再加入 4.425 ml 的 H<sub>2</sub>O<sub>2</sub> (aq),攪拌 1 小時後放入水熱釜內。
- (2) 將水熱釜置入烘箱內(110°C,24小時),反應後呈白色溶液。
- (3) 將溶液滴入離心管中,反覆離心三次(轉速 9000 rpm, 10 分鐘),將離心完的產物 真空乾燥 3 個小時。
- (4) 將塊狀 ZrO2 粉末研磨。

- (5) 透過穿透式電子顯微鏡 (Transmission Electron Microscopy, TEM)檢測奈米粒子, 並計算其尺寸分布。
- (6) 利用 X 光繞射分析(X-ray diffraction analysis, XRD) 判斷晶體結構、晶粒大小以及成份含量多寡。

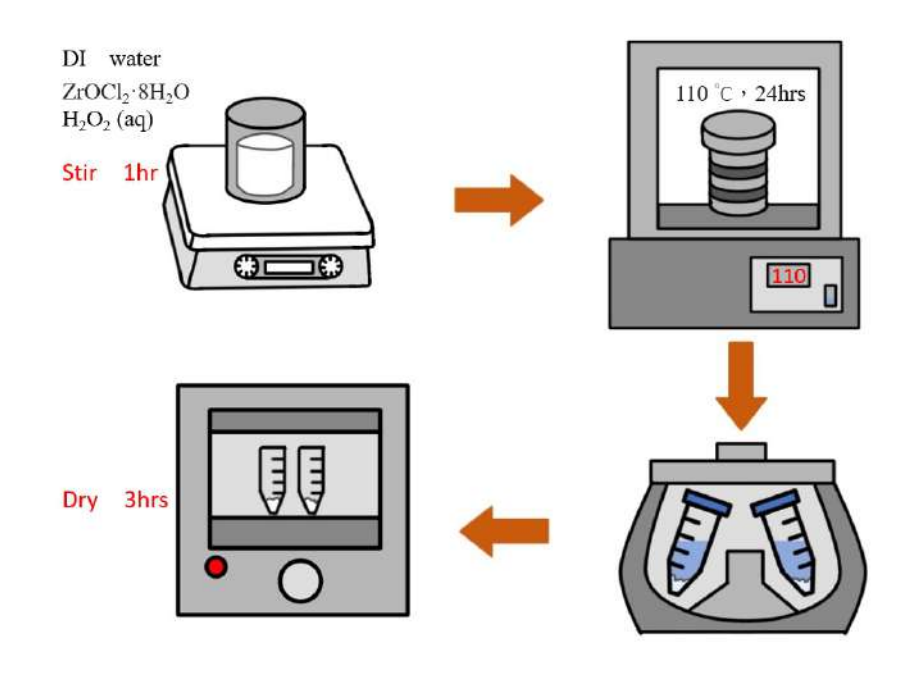


圖 5: ZrO<sub>2</sub> QDs 製作流程圖(研究者繪製)

### 二、ZrO2作為塗料

#### (一)原理

#### (二)步驟

- 1. 溶解樹脂
  - (1) 將 20 克的合成樹脂加入 100 毫升的乙醇中。
  - (2) 加熱至 50°C, 並持續攪拌, 直到樹脂完全溶解並形成均勻的溶液。

#### 2. 結合 ZrO<sub>2</sub> 粉末

(1) 將適量的  $ZrO_2$  粉末逐步加入已溶解的樹脂溶液中,充分攪拌,使  $ZrO_2$  均勻分散 於樹脂中。

#### 3. 塗覆玻璃片

- (1)使用刷子將混合好的 ZrO2 塗料均勻地塗覆在玻璃片上。
- (2)重複塗覆7次,每層塗覆後需等待乾燥,再進行下一次塗覆。
- 4. 玻璃片進行光催化
  - (1)將樣品分別放置在室外及室內進行光催化。
  - (2)每三個小時取下樣品並使用紫外線/可見光(UV-Vis)分光光譜儀檢測。

#### 三、CO2氫化反應

#### (一)樣品準備

以浸漬法製作四種不同金屬的 CO2氫化樣品(1wt%金屬鑲嵌在 ZrO2上)

- (1) 配置濃度為 0.01M 氯化銅、氯化鐵、六水合氯化鈷、六水合氯化鎳水溶液各 20 ml。
- (2) 將  $200 \text{ mg ZrO}_2 \times 0.01 \text{M}$  氯化鹽類水溶液、水混合成四種不同的溶液如下表 1 ,將攪拌子放入。

1wt% Fe	3.6ml 0.01M FeCl <sub>3</sub> (aq)+ 6.4ml 水		
1wt% Co	3.536ml 0.01M CoCl <sub>2</sub> ·6H <sub>2</sub> O(aq)+ 6.464ml 水		
1wt% Ni	3.15ml 0.01M NiCl <sub>2</sub> ·6H <sub>2</sub> O(aq)+ 6.85ml 水		
1wt% Cu	3.15ml 0.01M CuCl <sub>2</sub> (aq)+ 6.85ml 水		

表 1:製備四種內含不同金屬的 ZrO<sub>2</sub> QDs(研究者繪製)

- (3)將配置好的溶液放上加熱電磁攪拌器(80°C,600 rpm),攪拌至乾燥。
- (4) 將粉末研磨粉碎後,轉移至管住高溫爐鍛燒還原金屬,鍛燒條件為 650 度在 5% 氫氣/氦氣的氣體環境中持續兩小時。

#### (二)光催化還原 CO2

#### 1.原理

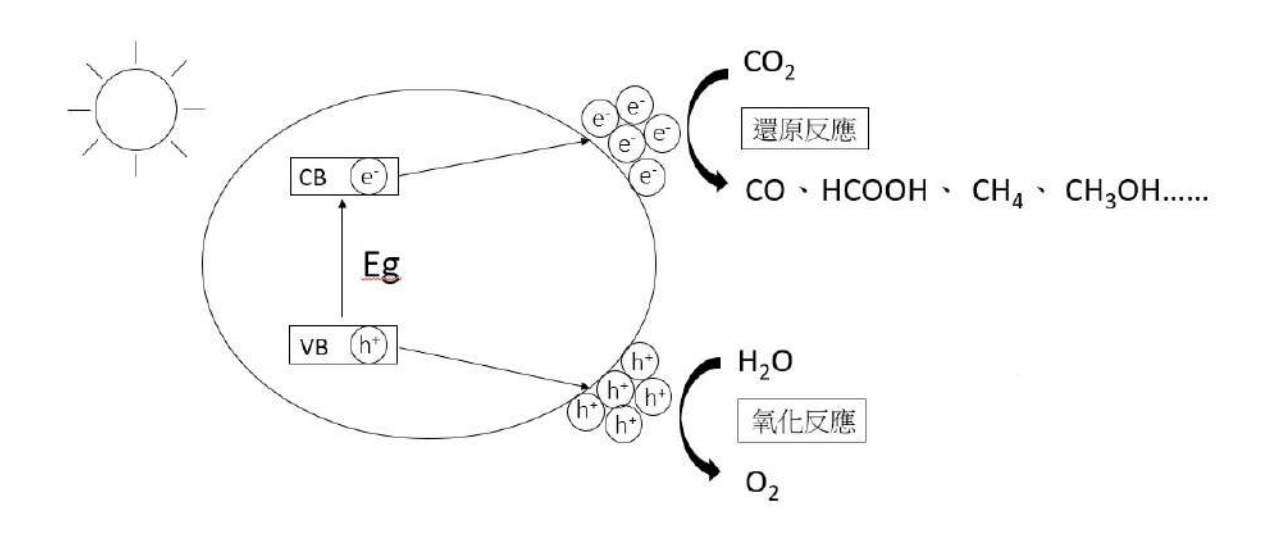


圖 6:光催化還原 CO₂原理示意圖(研究者繪製)

當催化劑受能量大於或等於其能隙的光能照射時,位在價帶的電子會被激發至導帶, 形成電子-電洞對。電子(e)和電洞(h+)會因擴散作用,加上催化劑表面結構和缺陷,進 而分離至催化劑表面,產生氧化還原反應。

#### 2. 步驟

- (1) 將 100 mg 樣品放入高溫管氏爐內用 5% H<sub>2</sub>+95% He 處理(650℃、750℃、850℃, 2 小時)。
- (2) 將燒完的樣品做光催化(光波長 400nm~700nm, 30 分鐘, 300 瓦)。
- (3) 將反應完的氣體(1c.c.) 通入 GC 檢測。
- (4) 換另一個樣品重複步驟(1)到步驟(3),直到四個樣品都做完。

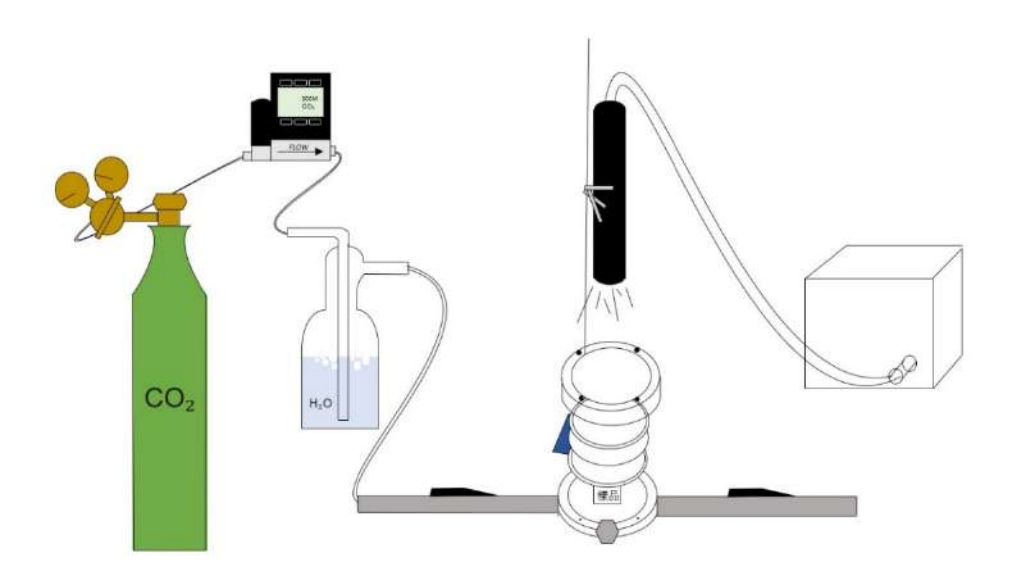


圖 7 光催化裝置示意圖(未依實際比例)(研究者繪製)

#### (三)利用 ZrO<sub>2</sub> QDs 進行熱催化還原 CO<sub>2</sub>

#### 1.原理

熱催化指的是透過熱能驅動反應形成。因為 CO<sub>2</sub>是很穩定的氣體,要還原它必須 克服很大的能量障礙,所以要有催化劑的存在,降低活化能。CO<sub>2</sub>的其中一個氧會先吸附在催化劑的氧空缺上,CO<sub>2</sub>的碳-氧雙鍵會弱化,使反應更容易進行,熱催化還原CO<sub>2</sub>主要有以下兩種反應:

#### (1)逆水煤氣反應

$$CO_2 + H_2 \rightarrow CO + H_2O \quad (\Delta H = 41.1 \text{ kJ/mol})$$

#### (2)甲烷化反應

$$CO_2 + 4H_2 \rightarrow CH_4 + 2H_2O \quad (\Delta H = -164.7 \text{ kJ/mol})$$

通常在高溫下,CO較容易產生,因為逆水煤氣反應是吸熱反應;在低溫下,CH<sub>4</sub>較容易產生,因為甲烷化反應是放熱反應。

#### 2.步驟

#### i.摻加金屬 ZrO2 樣品

- (1) 將 100 mg 樣品、200 mg 海砂混合,倒入 U 型管,並保持兩邊高度相同,在出口 處塞入石英棉,避免樣品被氣體吹出來。
- (2) 放進高溫反應釜內,通入 36sccm He + 4sccm H<sub>2</sub>,進行活化(750℃, 2 bar, 2 小時)。

- (3) 將溫度降至 300℃,換通入 5sccm CO<sub>2</sub> + 15sccm H<sub>2</sub> (WHSV:12000 mL g<sup>-1</sup> h<sup>-1</sup>)進行 CO<sub>2</sub>氫化(2 bar, 30 分鐘)。
- (4) 將產物通入 GC 進行氣體檢測。
- (5) 升至 400℃進行 CO₂氫化(2 bar, 30 分鐘)重複步驟(4), 500℃、600℃同樣做法。 ii.不同氧空缺 ZrO₂ 樣品
  - (1) 將 300 mg ZrO<sub>2</sub>粉末倒入 U 型管,並保持兩邊高度相同,在出口處塞入石英棉, 避免粉末被氣體吹出來。
  - (2) 放進高溫反應釜內,通入 36sccm He + 4sccm H<sub>2</sub>,進行活化(750℃, 2 bar, 2 小時)。
  - (3) 將溫度降至 300℃,換通入 5sccm CO<sub>2</sub> + 15sccm H<sub>2</sub> (WHSV: 12000 mL g<sup>-1</sup> h<sup>-1</sup>) 進行 CO₂氧化(2 bar, 30 分鐘)。
  - (4) 將產物誦入 GC 推行氣體檢測。
  - (5) 升至 400 ℃進行 CO₂氫化(2 bar, 30 分鐘)重複步驟(4), 500℃、600℃同樣做法。
  - (6) 換另一管粉末,重複步驟(1)至步驟(5),步驟(2)改通入 36sccm He + 4sccm O2。
  - (7) 换另一管粉末,重複步驟(1)至步驟(5),步驟(2)改成通入 40sccm He。
  - (8) 换另一管粉末,重複步驟(1)至步驟(5),步驟(2)換通入 40sccm He (200℃, 2 bar, 30 分鐘)。

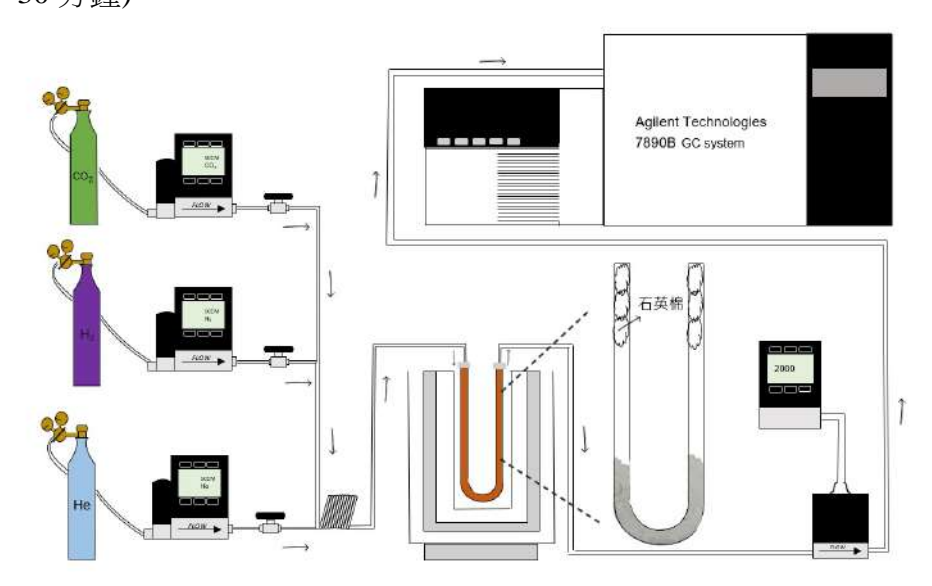
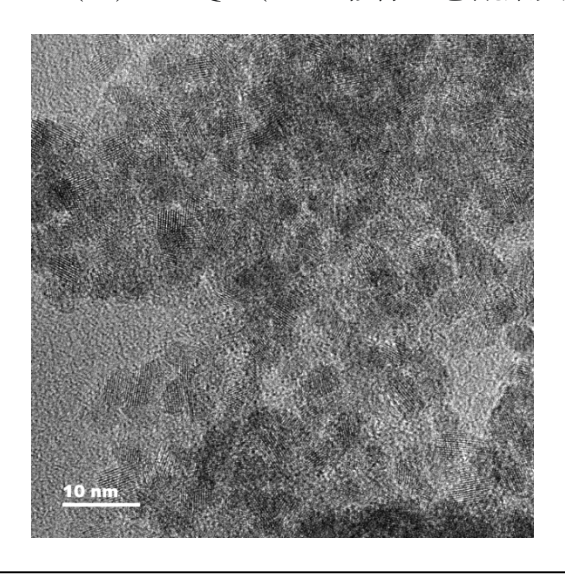


圖 8 熱催化裝置示意圖(未依實際比例)(研究者繪製)

## 肆、結果與討論

## 一、尋求新世代的文物修復塗料

(一)ZrO2 QDs(TEM 影像型態觀察與探討):



Diameter: 3.90 ± 0.43 nm

161412103.0 3.2 3.4 3.6 3.8 4.0 4.2 4.4 4.6

Diameter (nm)

圖 9: ZrO<sub>2</sub> QDs TEM 影像(研究者拍攝)

圖 10: ZrO<sub>2</sub> QDs 尺寸分布(研究者繪製)

#### 討論:

利用簡單的水熱法,在 110 °C 下成功合成  $ZrO_2$  量子點( $ZrO_2$  quantum dots),透過穿透式電子顯微鏡(TEM)影像(圖 9)統計出  $ZrO_2$  奈米粒子平均尺寸大小約為 3.90 nm(圖 10),此結果顯示  $ZrO_2$  為零維(0D)的粒子(三軸均 <10 nm),由於尺寸極小,後續添加在修復級顏料中,奈米粒子間排列會更緊密。

#### (二)ZrO2 QDs 與 TiO2 的比較:

#### 1.ZrO<sub>2</sub> QDs 與 TiO<sub>2</sub>能隙測試





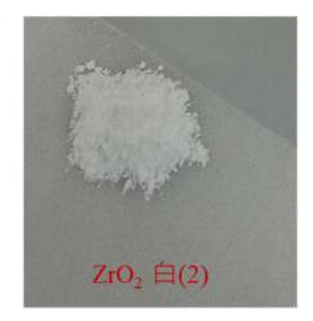




圖 11: 三種 ZrO<sub>2</sub> QDs 與 TiO<sub>2</sub>(P25)粉末(研究者拍攝)

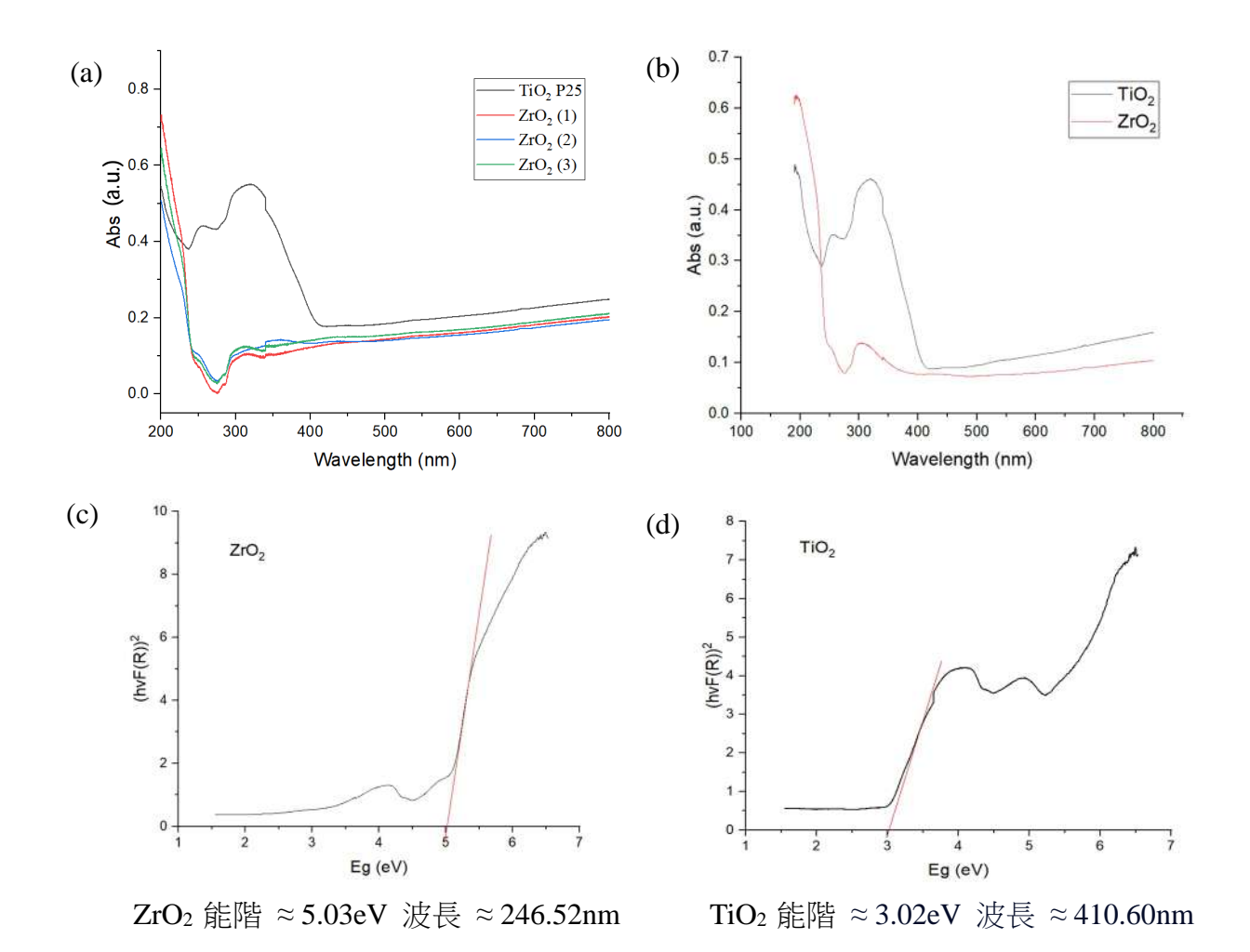


圖 12:(a)、(b)  $ZrO_2$  與  $TiO_2$  UV-Vis 吸收光譜,(c) 由圖(b) 轉換的  $ZrO_2$  能量圖譜及 (d)  $TiO_2$  能量圖譜。(研究者繪製)

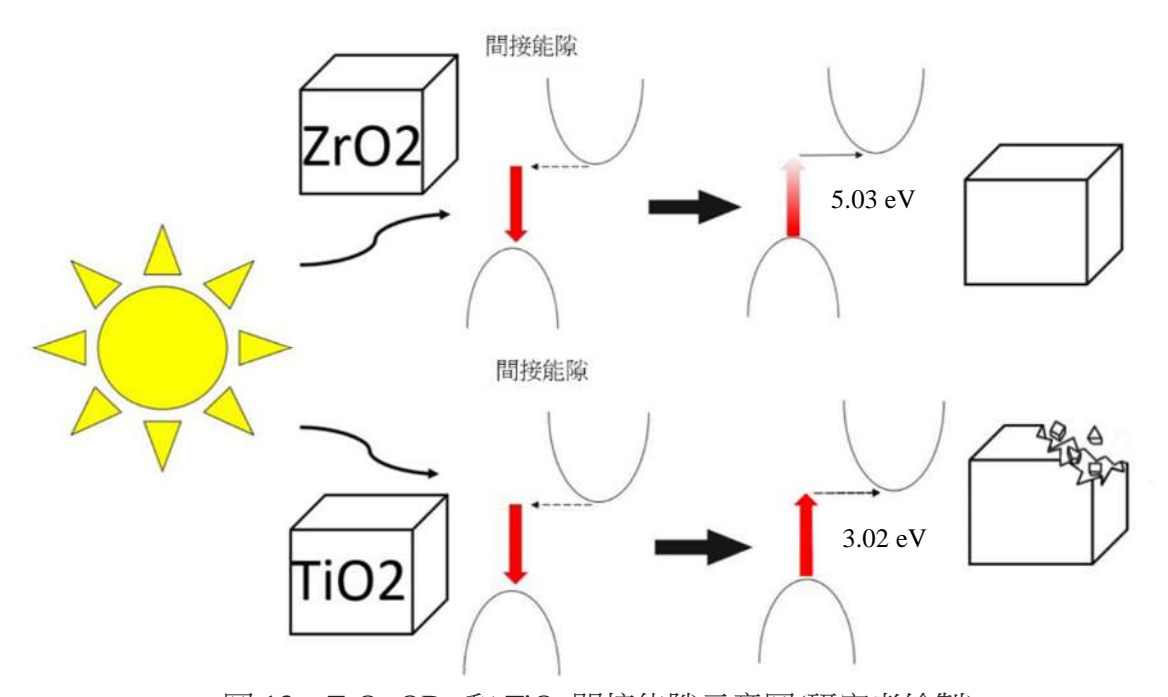


圖 13: ZrO<sub>2</sub> QDs 和 TiO<sub>2</sub> 間接能隙示意圖(研究者繪製)

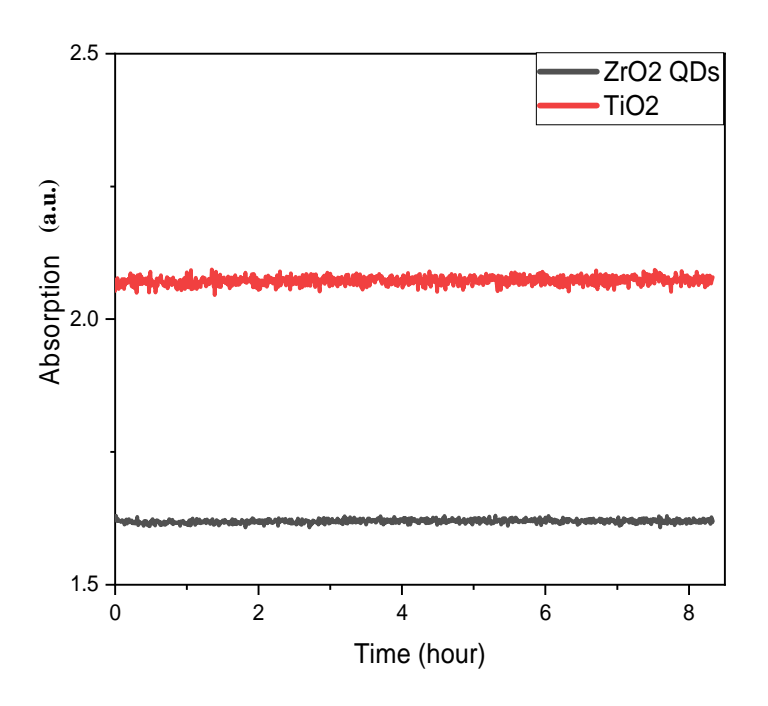


圖 14: ZrO<sub>2</sub> QDs (246.52nm)和 TiO<sub>2</sub>(410.60nm)在固定波長下 8hrs 穩定度測試(研究者繪製)

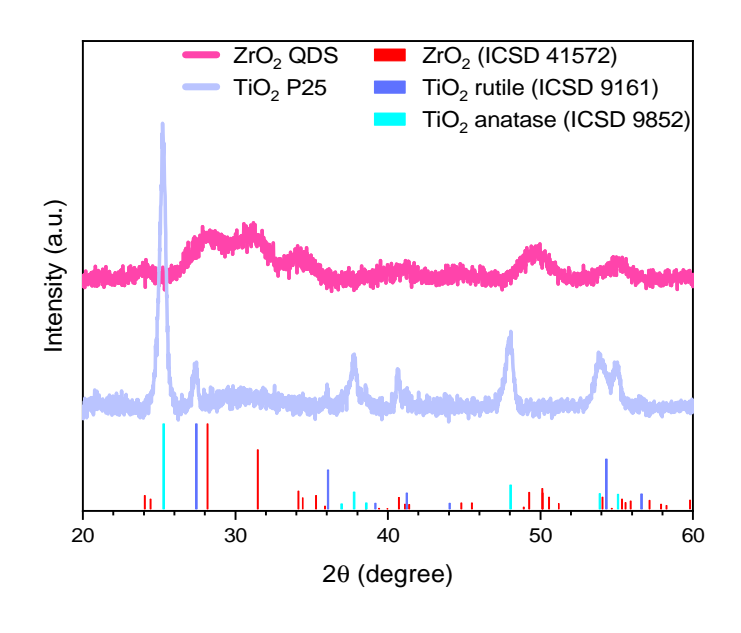


圖 15: ZrO<sub>2</sub> QDs 和 TiO<sub>2</sub>(P25)的 X 光繞射光譜(XRD) (研究者繪製)

(1)透過紫外-可見分光光度 (UV-Vis) 測量紫外-可見光區的吸收光譜,發現 ZrO<sub>2</sub> 奈米粒子並無可見光區明顯之吸收光譜特徵峰,由其光譜資訊可以推論,此粒子在可見光波長下 (380 nm~760 nm) 較不會吸收太陽光在可見光區的能量,而在紫外光區的吸收光譜中TiO<sub>2</sub> 有兩個明顯的特徵峰分別出現在 250~270nm(UVC)、300nm~350nm(UVB)之間,紫外光區的吸收將進而產生自由基破壞塗料及色料之化學結構。

- (2)比較(1)~(3)三種製作出的  $ZrO_2$ 粉末可以發現在吸收有些微的差異,主要在於  $ZrO_2$ 粉末的成色並非呈現完全白色,其中顏色偏紅銅的  $ZrO_2$ (3)吸收光的量就對比其他的多。 (3)利用能隙計算出  $ZrO_2$ 的波長 246.52nm,能階 5.03eV 和  $TiO_2$ 的波長 410.60nm,能階 3.02eV,並利用此兩波長進行了 8hrs 穩定度測試,發現兩者在這波長下不會因時間而改
- (4)自製的  $ZrO_2$  粉末的訊號和  $ZrO_2$ (ICSD)大致在相同位置,故可確認此粉末成分為  $ZrO_2$ ,無混雜其他物質。

#### 2.ZrO<sub>2</sub> QDs 與 TiO<sub>2</sub> 光催化探討

變吸收度及能隙。

(1) 將上述合成的 ZrO<sub>2</sub> QDs 與市售之 TiO<sub>2</sub>, 塗附在玻璃基板上,並分別置於室內照光及室外太陽照光分別於 3hrs 及 6hrs 進行吸收光譜測試並比較其穩定度。

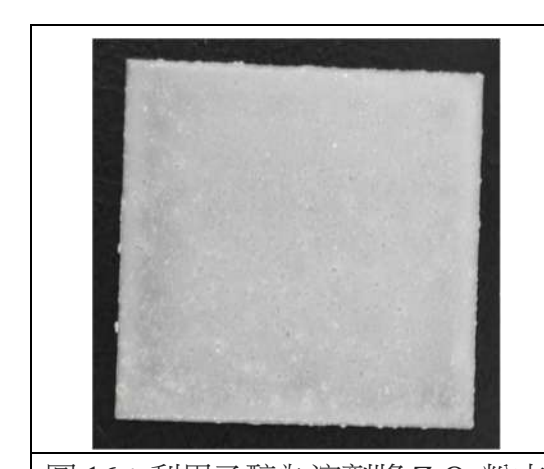


圖 16:利用乙醇為溶劑將 ZrO<sub>2</sub> 粉末 塗佈在玻璃基板上。(研究者拍攝)

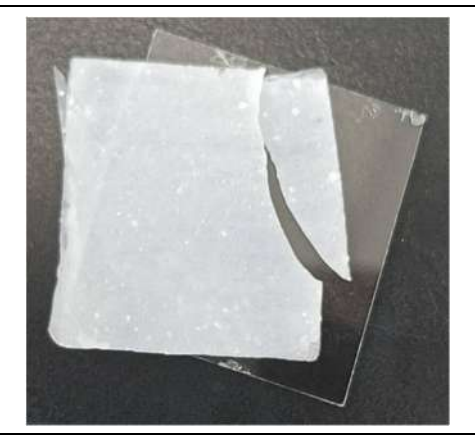


圖 17: ZrO<sub>2</sub> 呈現固態薄片型態, 不溶於水(研究者拍攝)

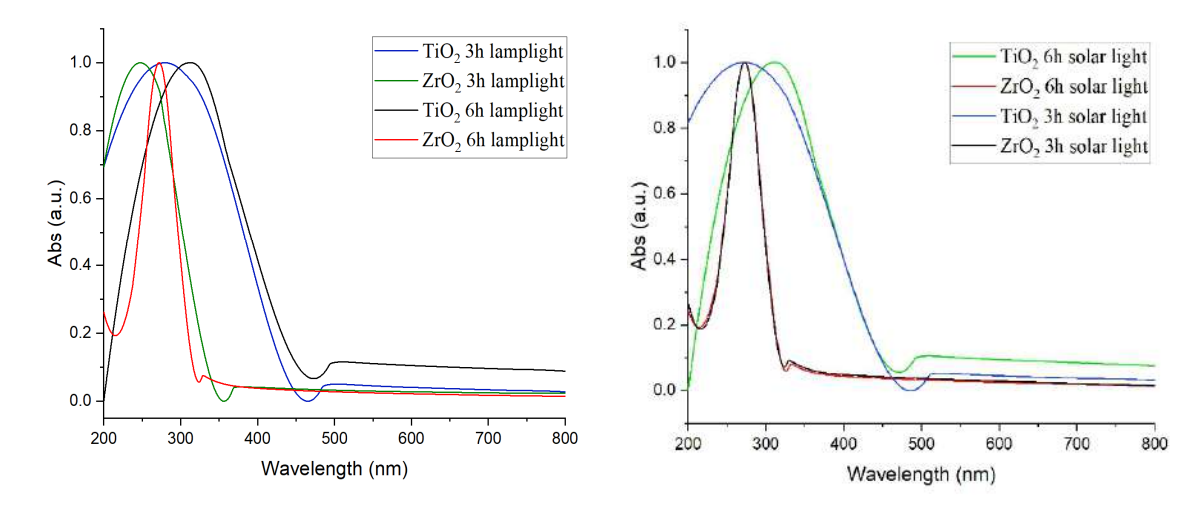


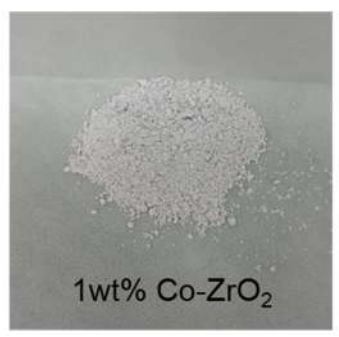
圖 18: ZrO<sub>2</sub> QDs 和 TiO<sub>2</sub> UV-Vis 光譜吸收度(研究者繪製)

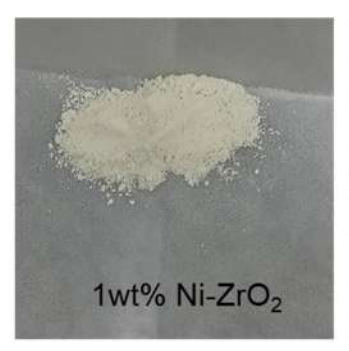
從圖 18 中 ZrO<sub>2</sub>與 TiO<sub>2</sub>比較,吸收波長雖不在可見光範圍中。從照光時間長短發現,照光越久,吸收波段會呈現紅移情況,而 ZrO<sub>2</sub>在室內照光雖然會有紅移的現象但是其吸收波長落在 300 nm 以下的短波長,而室外太陽光照射下沒有呈現紅移現象但其吸收波長一樣在 300 nm 以下。TiO<sub>2</sub>不管室內或室外照光其趨勢一致有紅移現象並逐漸往可見光波段,這會使得樣品在長期照光之下,使得材料本身發生破壞、損毀,最後會導致塗料跟著崩解,而不具有塗料保護的作用,因此 ZrO<sub>2</sub> 有助於保持塗料穩定性,在修復塗料中具有更長的穩定性,免於陽光還原損壞。

### 二、發展能有效減碳的觸媒科技

#### (一) 以浸漬法製作鑲嵌不同金屬的 ZrO2 樣品







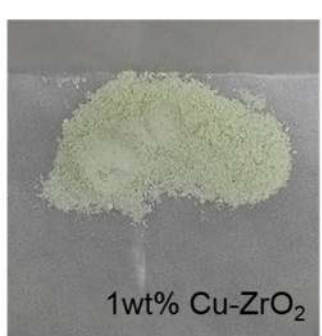
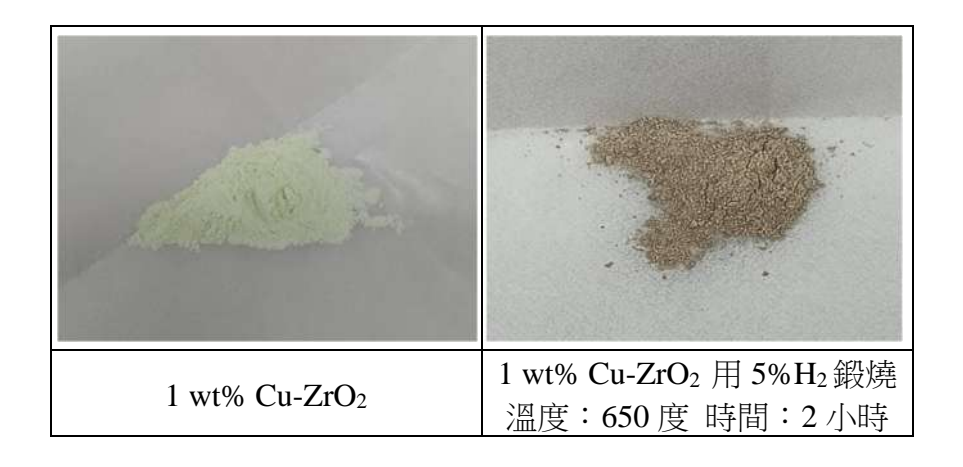


圖 19: 摻雜不同金屬後的 ZrO2 粉末(研究者拍攝)

#### (二)將合成的 Cu-ZrO2 粒子光催化還原 CO2:

(1)分別將 Cu-ZrO<sub>2</sub> 及經 650°C、750°C 及 850°C 處理後的樣品進行光催化測試。



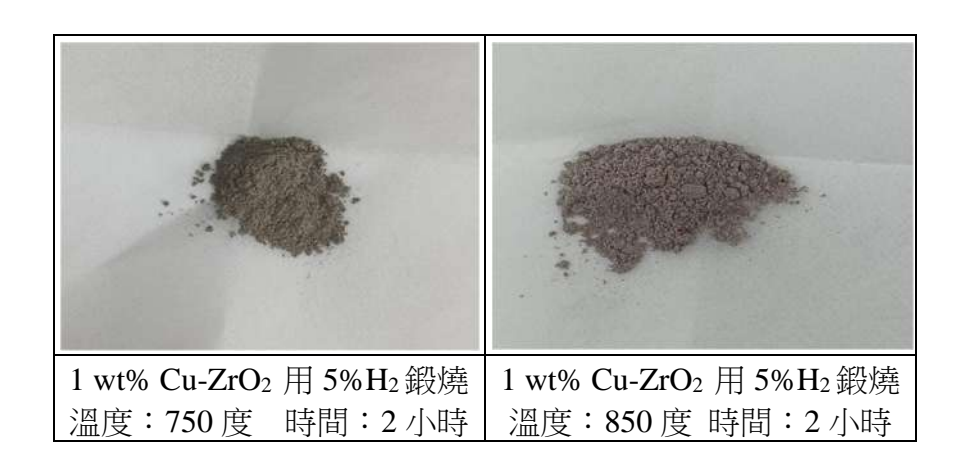


圖 20: 摻雜金屬 Cu 後經不同溫度處理後的 ZrO2 粉末(研究者拍攝)

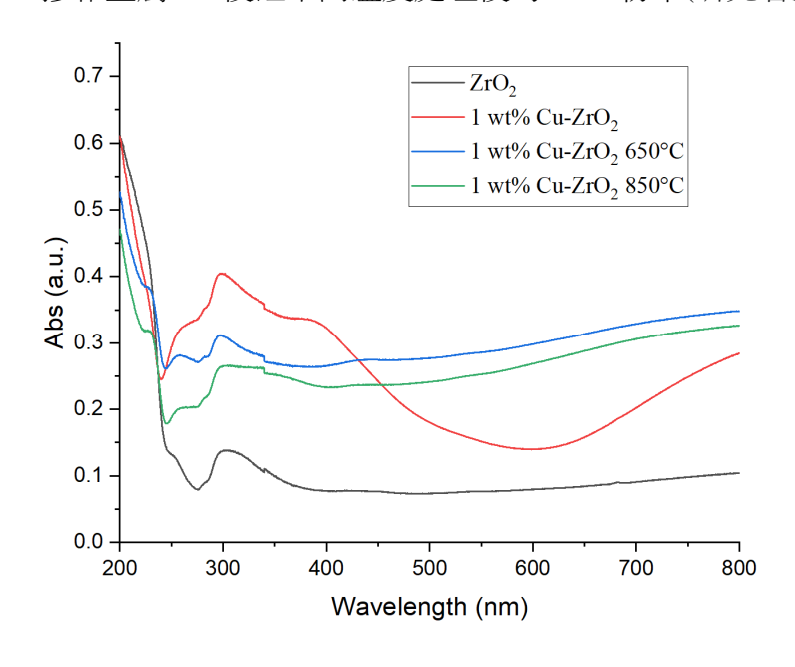


圖 21: 摻雜金屬 Cu 的 ZrO2,經過不同溫度的處理後的吸收光譜(研究者繪製)

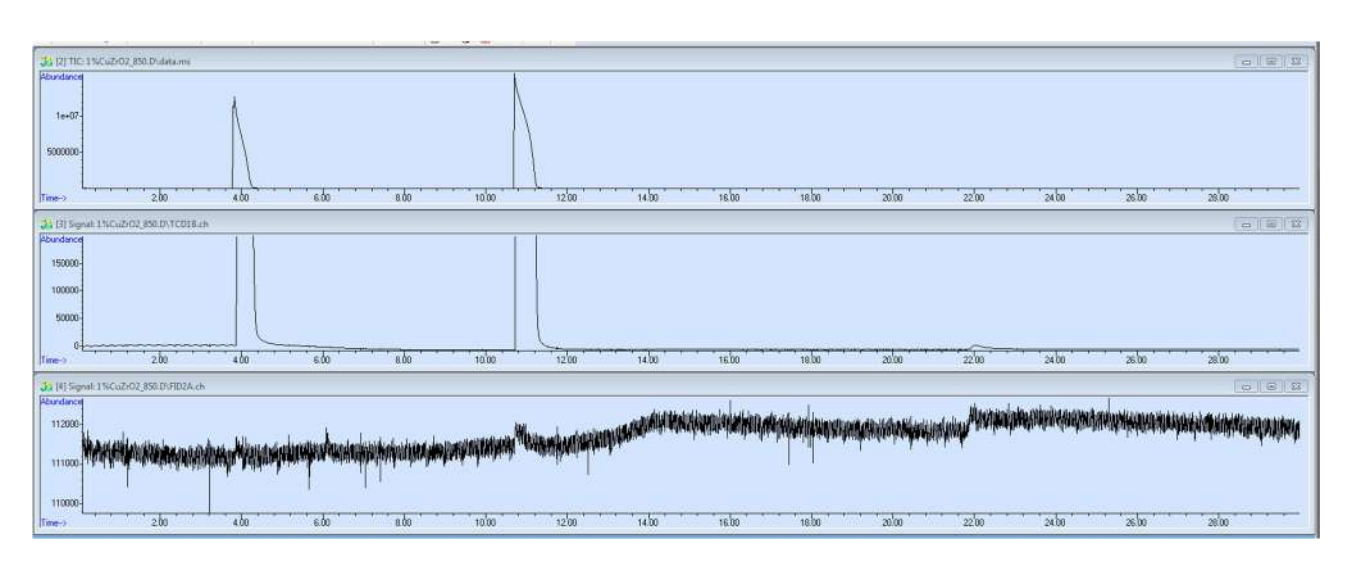
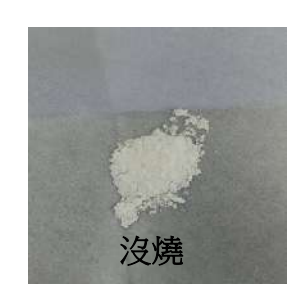


圖 22: GC 分析圖(850°C 1wt%Cu-ZrO2 做光催產物)(研究者繪製)

- 1. ZrO<sub>2</sub> QDs 在 300 nm 的吸收來自於本身的晶格缺陷 (黑線),而與銅離子混合完並未做燒結可見其粉末顏色呈現黃色,此時在接近 400 nm 的地方會產生一根由吸附銅離子產生的寬吸收峰,可能原因為吸附的 Cu²+ 引入了新的電子態或改變了 ZrO<sub>2</sub> QDs 缺陷態的電子結構,產生了新的電荷轉移躍遷。圖 20 中摻雜 Cu 的 ZrO<sub>2</sub> QDs 隨著處理溫度越高,產物的粉末顏色越黑,主因為高溫下金屬原子在氫氣還原的作用下,在氧空缺位置較易形成有顏色的金屬團簇,導致粉末顏色變深,因此提升 Cu-ZrO<sub>2</sub> QDs 整體吸收可見光的能力。由圖 21 即顯示 Cu-ZrO<sub>2</sub> 觸媒同時擁有 ZrO<sub>2</sub> 量子點的能除吸收與缺陷吸收。但經越高溫燒結後促進粒子之間的相互接觸與熔合,整體粒子合併變大,結晶性變好,因此缺陷吸收峰下降且變更寬,推測主要是粒子尺寸的散射效應更高所導致的結果[3]。
  2. 從圖 22 中可以發現,TCD 的圖中,只有兩根 peak,第一根是 H<sub>2</sub>,第二根是 CO<sub>2</sub>;由 FID 的圖中檢視,無任何 peak 訊號,因此推斷在光催下並無產物產生。
  3.用 850 °C 1wt% Cu-ZrO<sub>2</sub> 做光催後,發現 CO<sub>2</sub> 沒有受到還原,結果並無產物生成。雖然加入金屬及經過不同溫度處理後,能階變小,但是還是無法在照光下進行光催化。此結果可以初步驗證 ZrO<sub>2</sub> 受到光催時的穩定度極佳,因此添加在顏料內保持穩定可不受到陽光的照射而還原。
- 三、檢視量子點材料於上述兩項應用發展的優勢
- (一) 利用 ZrO<sub>2</sub> QDs 進行不同氣體氧空缺測試



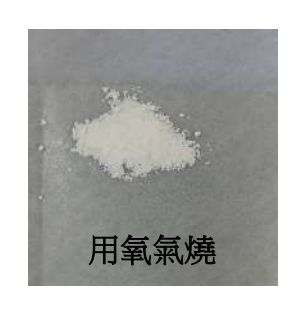






圖 23:以不同氣體燒過後的 ZrO<sub>2</sub> 粉末(研究者拍攝)

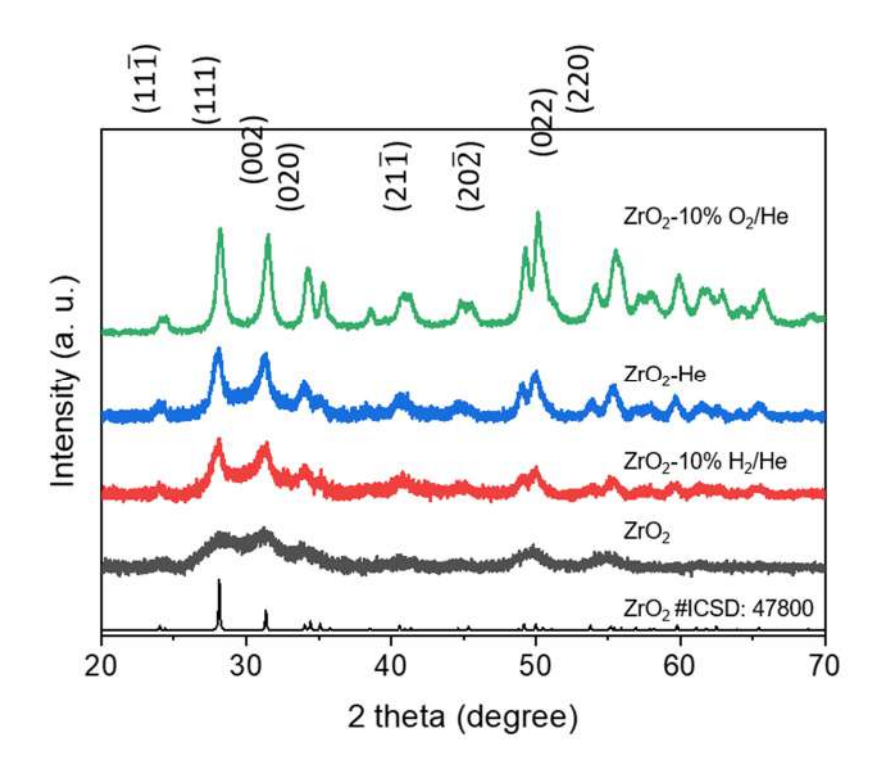


圖 24: 用不同氣體燒過的 X 光繞射光譜 (XRD)(研究者繪製)

由 XRD 圖譜(圖 24),峰型越尖代表結晶性越高;反之,則越低。當在  $H_2$ 環境中加熱  $ZrO_2$ 時,H 會取代部分  $ZrO_2$ 中的  $O^2$ ,增加氧空缺的濃度,氧空缺的增加會降低量子點的結晶性,使得 XRD 峰形較寬、較不尖銳。在  $O_2$ 環境中加熱  $ZrO_2$ 時, $O_2$  會填補部分氧空缺,減少氧空缺的濃度,氧空缺減少後,結晶性提高,使得 XRD 峰形變得較尖銳。He 為惰性氣體,對氧空缺的影響不大,因此,理論上在 He 中加熱的  $ZrO_2$ 應該與未經加熱的樣品相似,但在 He 加熱過的樣品峰形仍比未加熱樣品的峰更尖,這是因為加熱過程中顆粒長大,導致結晶性提高。未加熱樣品的顆粒較小,結晶性也較低;經過加熱(無論在  $H_2$ 、He 或  $O_2$ 環境中)後,顆粒變大,結晶性提高,因此加熱後的樣品峰形較尖。

## (二)利用 ZrO<sub>2</sub> QDs 進行熱催化還原 CO<sub>2</sub>

## (1)不同氧空缺濃度的 ZrO2 進行熱催化後 CO2 轉換率及選擇性比較

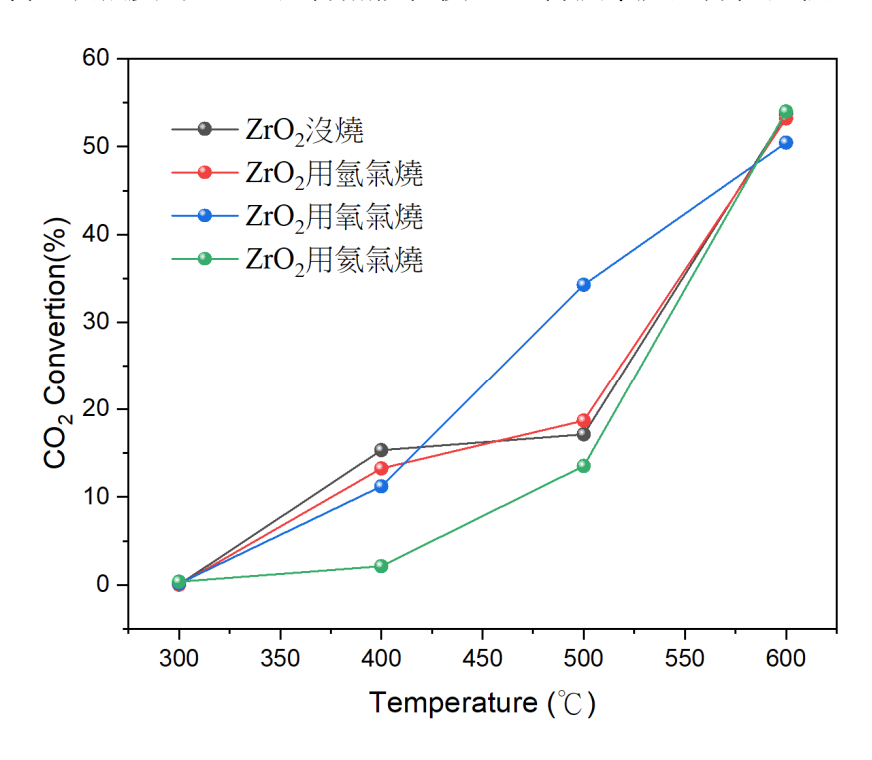


圖 25:用不同氣體燒過後,再進行熱催化的 CO<sub>2</sub>轉換率(研究者繪製)

温度加入氣體	300°C	400°C	500°C	600°C
無添加	0.37%	15.35%	17.14%	53.74%
$\mathbf{H}_2$	0.24%	13.27%	18.71%	53.22%
O <sub>2</sub>	2.71%	11.23%	34.26%	50.46%
He	0.37%	2.13%	13.54%	54.00%

表 2:以不同氣體燒過後進行熱催化的 CO<sub>2</sub>轉換率數值(研究者繪製)

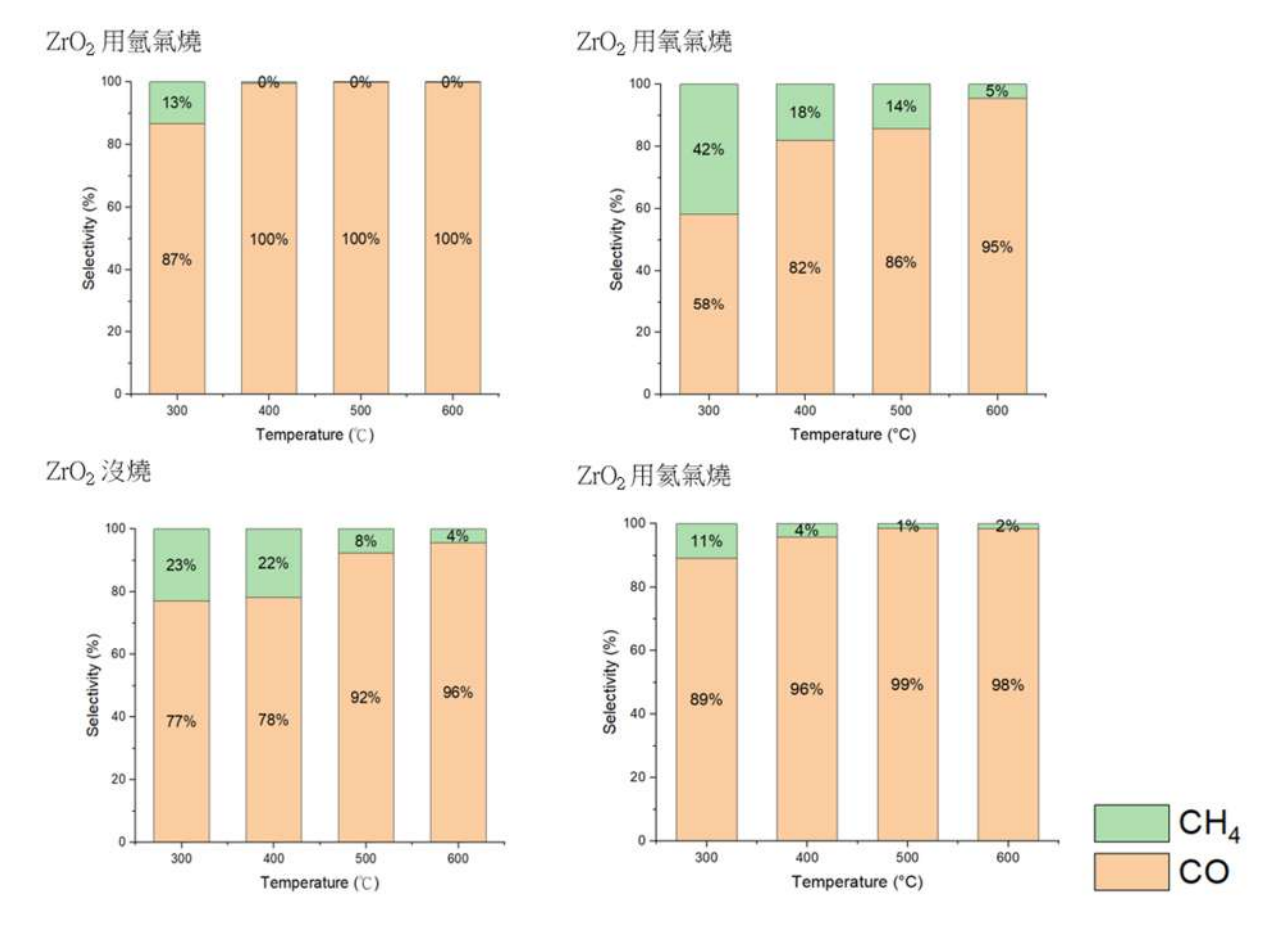


圖 26: 用不同氣體燒過後,進行熱催化的氣體選擇性(研究者繪製)

- 1. 量子點表面的氧空缺是指氧化物材料,晶格中缺少氧原子的位置,該位置普遍為具有正電荷的活性位點,若自身為不利特定分子的吸附與活化,也可能在 ZrO<sub>2</sub> QDS 表面誘導產生額外的活性位點 [4]。然而對催化 CO<sub>2</sub> 氫化反應而言,CO<sub>2</sub> 分子屬於路易士酸(電子接收者),帶些微正電荷的氧空缺會較不傾向捕捉 CO<sub>2</sub> 來促成反應或不利於電子轉移至 CO<sub>2</sub> 分子來進行還原。
- 2. 如圖 25 所示,在 300 °C 之下,因為溫度太低,普遍不利反應進行,不同觸媒所造成的  $CO_2$ 轉換率都偏低。在 400°C,用氦氣鍛燒的轉換率明顯較其他條件偏低,推測因其氧空缺受小分子氦氣覆蓋,故  $CO_2$ 的吸附與活化不易進行。在 500°C 以上,隨著溫度增加,各處沒轉換率皆略為增加,其中因為用  $O_2$ 處理的  $ZrO_2$  QDs 結構表面更穩定,不利  $CO_2$  吸附的氧缺陷減少 這有助於氣體分子的有效吸附和反應,所以轉換率偏高。最後在 600 °C,四者的  $CO_2$  轉換率皆提升到 50%以上,因為熱能已遠超過了反應活化能的界線,轉換率大幅提升,因此無法反映出觸媒差異。

- 3. 不論用何種氣體鍛燒過的  $ZrO_2$  QDS, $CH_4$  選擇性皆隨溫度上升而下降,其主要原因為 逆水煤氣反應( $CO_2 + H_2 \rightarrow CO + H_2O \Delta H^0 = 42.1 \text{ kJ mol}^{-1}$ )是吸熱反應,通常在高溫 下,CO 較容易產生(如下圖 27);而在低溫下,因為甲烷化反應( $CO_2 + 4H_2 \rightarrow CH_4 + 2H_2O \Delta H = -164.7 \text{ kJ mol}^{-1}$ )是放熱反應,所以  $CH_4$  較容易產生。
- 4. 因為表面正電荷氧空缺的存在,形成了除了吸放熱因素外,影響低溫產生甲烷分子比例高低的主要因素。用氧氣燒的,在  $300^{\circ}$ C - $500^{\circ}$ C 時相對其他條件的觸媒,有最高 CH4 的選擇性,其次是沒燒的,再來是用氫氣燒的,最後是用氦氣燒的。用氧氣鍛燒的觸媒如前所述, $ZrO_2$  QDs 結構表面更穩定,不利  $CO_2$  吸附的氧缺陷减少 這有助於氣體分子的有效吸附和反應。用氫氣鍛燒的觸媒, $H_2$  容易卡在氧空缺中與吸附於表面,致使  $CO_2$  與這些已吸附的  $H_2$  反應後隨即離開觸媒,容易僅進行逆水煤氣反應而只有少數電子轉移,甲烷化反應這個多電子轉移過程來不及發生。而用氦氣鍛燒的觸媒,使得鈍化的觸媒表面更不容易使  $CO_2$  停留,僅能與同時一起通入的  $H_2$  快速反應,觸媒產生的催化效果很不明顯,這點由它在  $300^{\circ}$ C - $500^{\circ}$ C 都有非常低的  $CO_2$  轉換率即可佐證。
- 5. 選擇性標為 0%時,不全代表完全沒有 CH4 產生,而是在和 CO 的生成比較之下其相對比例極偏低。

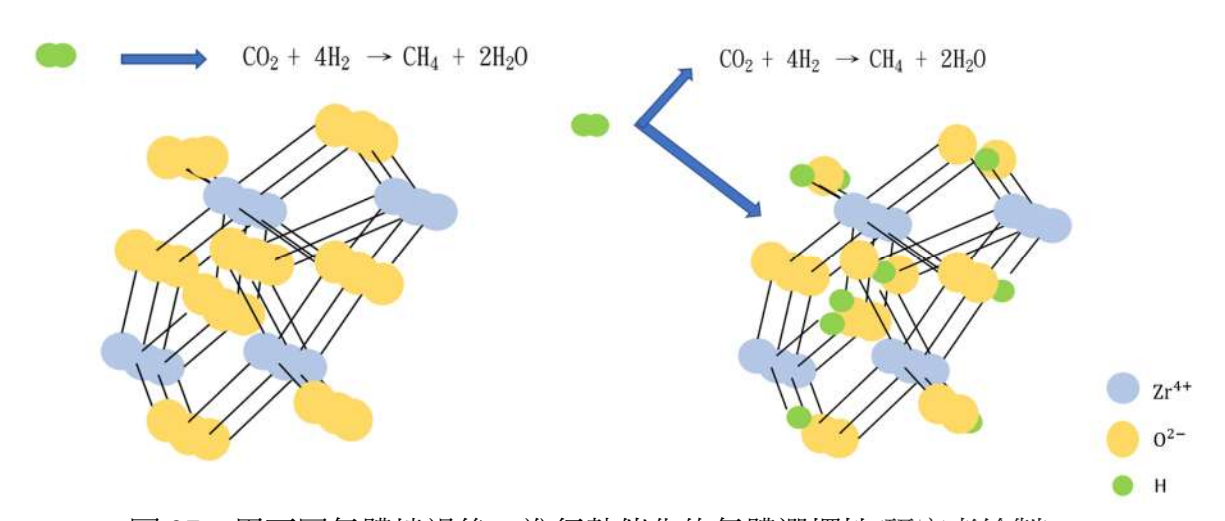


圖 27: 用不同氣體燒過後,進行熱催化的氣體選擇性(研究者繪製)

#### (2)CO2 熱催化後產物通入 GC 進行氣體檢測分析:

300°C 沒燒

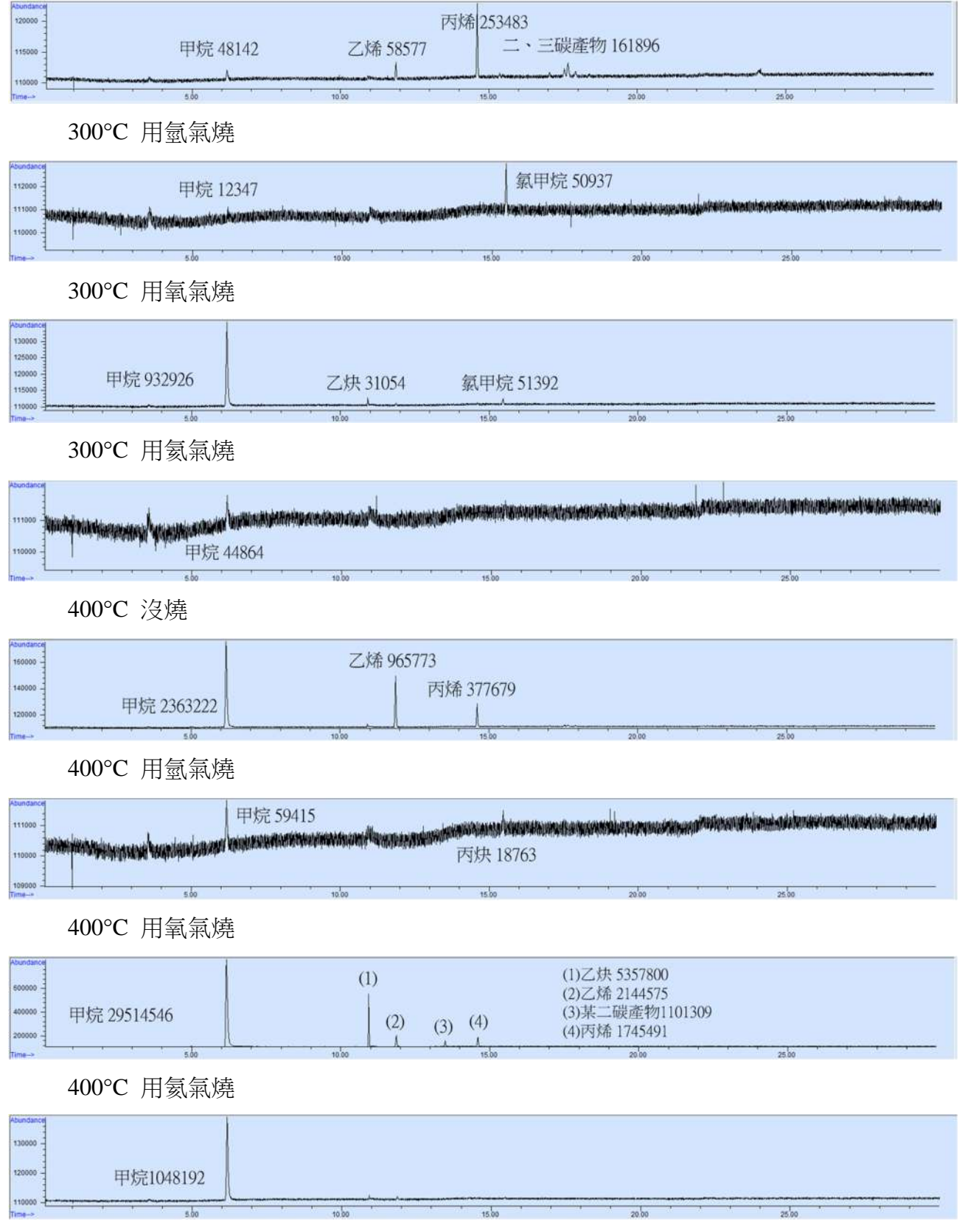


圖 28:GC 分析圖(ZrO<sub>2</sub> 以四種不同氣體狀態在不同溫度的產物)(研究者繪製)

1.產物種類: 300°C:沒燒的樣品>用氧氣燒的樣品>用氫氣燒的樣品>用氦氣燒的樣品;

400°C:用氧氣燒的樣品>沒燒的樣品>用氫氣燒的樣品>用氦氣燒的樣品。

2.由圖 28 可以發現,在低溫下(300°C、400°C),產物除了  $CH_4$ 及 CO 外,還有其他產物,如: $C_2H_2$ 、 $C_2H_4$ 、 $C_3H_6$ 、 $C_3H_4$ ,其可能原因氧化金屬表面的氧空缺提供了活性位點,有助於穩定過程中的中間體,並加速碳氫鍵的斷裂和重組,氧空缺可以通過捕捉或釋放氧原子來促進脫氫反應,使得飽和烴(如  $CH_4$ )轉變為不飽和烴(如  $C_2H_4$ 、 $C_3H_6$ )。

3.經過 He 處理後反應轉換率較低,不飽和碳氫化合物的生成也降低,主要是因為其反應 速率較慢,氧空缺未能充分被利用,CH4轉化為不飽和碳氫化合物的效率也會降低;

CH<sub>3</sub>Cl 則是可能於製作粉末時未離心乾淨的 Cl<sub>2</sub>,與 CH<sub>4</sub>產生 CH<sub>3</sub>Cl。

#### (3)將四種不同金屬鑲嵌在 ZrO2 QDs 上進行熱催化分析

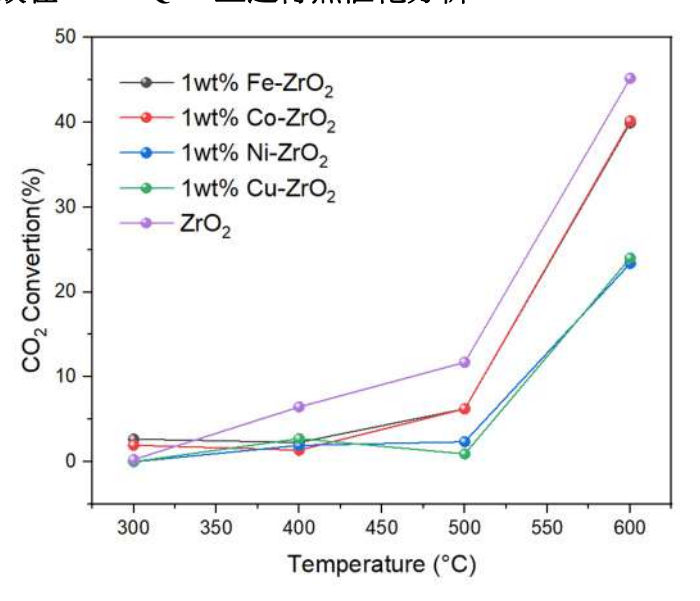


圖 29: 摻雜不同金屬後的 CO2 轉換率比較(研究者繪製)

温度 加入氣體	300°C	400°C	500°C	600°C
無添加	0.25%	6.46%	11.71%	45.19%
Fe	1.77%	3.65%	5.34%	39.04%
Co	1.90%	0.46%	5.35%	39.29%
Ni	0%	1.89%	1.46%	22.48%
Cu	0%	2.70%	0.03%	23.13%

表 3: 掺雜不同金屬後的 CO2 轉換率數值(研究者繪製)

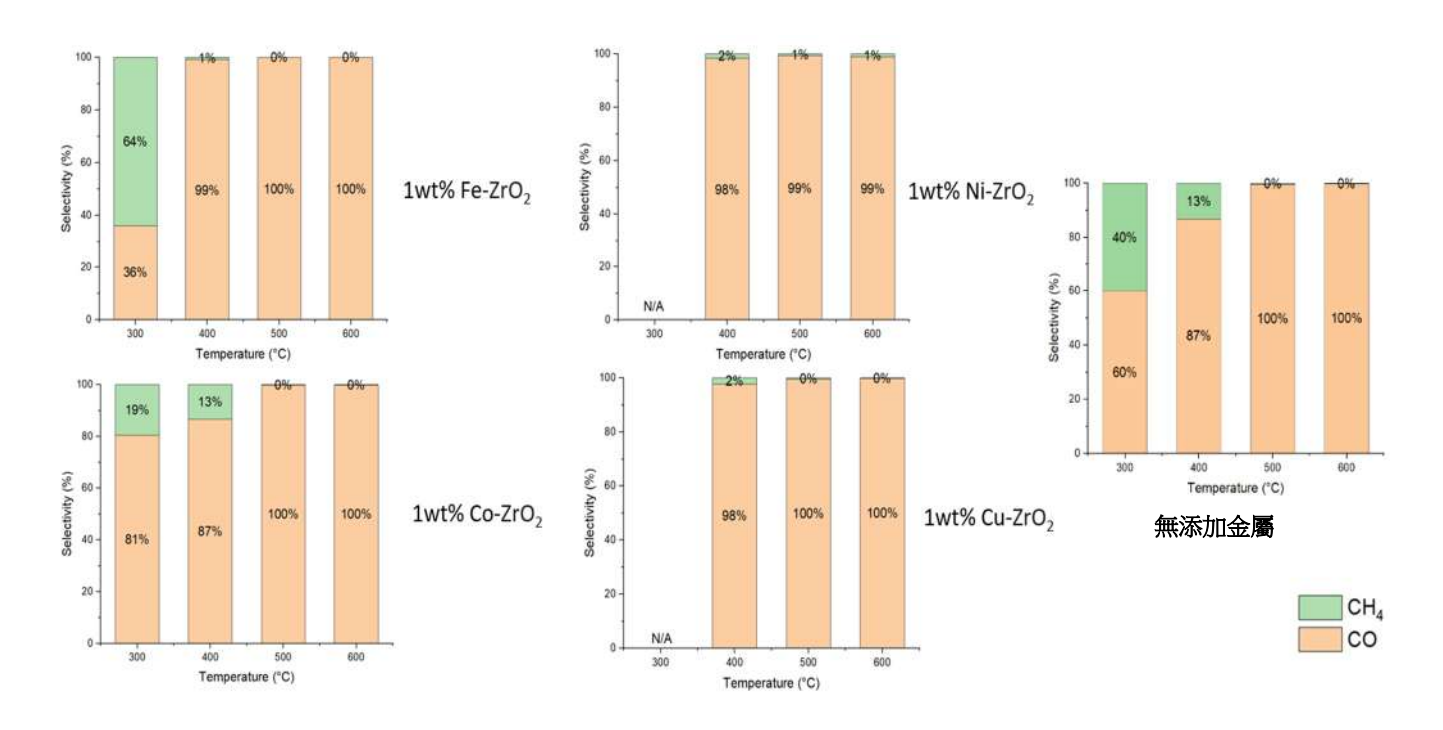


圖 30: 摻雜不同金屬後的選擇性比較(研究者繪製)

1.加了金屬後的 ZrO<sub>2</sub> QDs 轉換率比沒有添加金屬的還要低,原因是[5] (1)添加金屬後,催化劑表面的活性位點結構改變,從而減少 CO<sub>2</sub>的吸附或還原效率、(2)改變了晶格結構使原有的氧空缺或晶格缺陷發生變化、(3)填補或穩定氧空缺,導致轉換率因而降低、(4) 金屬在高溫環境中會形成穩定的氧化物,這些氧化物不具備高效的 CO<sub>2</sub>還原能力,從而影響整體催化效果。添加了 Fe 及 Co 的 ZrO<sub>2</sub> 轉換率的曲線大致一致,加了 Ni 和 Cu 的轉換率曲線大致相同。主要是由於氧化還原活性、氧空缺生成特性有所差異的關係,Fe 和 Co 具有多重氧化態(如 Fe³+/Fe²+和 Co³+/Co²+)易於參與電子轉移過程,從而在氧化反應或裂解反應中更具反應活性,Ni 和 Cu 則有相對穩定的氧化態(Ni²+和 Cu²+),掺雜於 ZrO<sub>2</sub> QDs 後會提供穩定的活性位點 [6]。

2.不論添加何種金屬, CH4 選擇性皆隨溫度上升而下降, 其主要原因為逆水煤氣反應是吸熱反應, 通常在高溫下, CO 較容易產生; 而在低溫下, 因為甲烷化反應是放熱反應, 所以 CH4 較容易產生。

3.在 300°C,由於溫度較低,不利反應進行,CO2幾乎沒有轉換,其中,1 wt% Ni-ZrO2和 1 wt% Cu-ZrO2完全沒有產物,摻雜 Ni 或 Cu 的氧化物在低溫下無法有效進行轉化,因這些金屬在較低溫度下的活性不足,無法有效觸發反應進行。

4.1 wt% Fe-ZrO<sub>2</sub>在 300°C 有達 64%的 CH<sub>4</sub>選擇性,比純 ZrO<sub>2</sub> 還高,原因為 Fe 摻雜後, 其與 ZrO<sub>2</sub> QDs 能達到最好的電子協同效應(Electronic Synergistic effect),H<sub>2</sub>停留在 Fe 活 性位點與 CO<sub>2</sub>停留在 ZrO<sub>2</sub> QDs 活性位點的共同反應時間充足,加上在較低溫,過程完全 有利多電子轉移而促使甲烷形成。到達 400°C 後,CH<sub>4</sub> 選擇性大幅降低,原因為高溫較向 逆水煤氣反應,再加上表面重構,使 Fe 摻雜的氧化金屬表面活性位點發生變化。

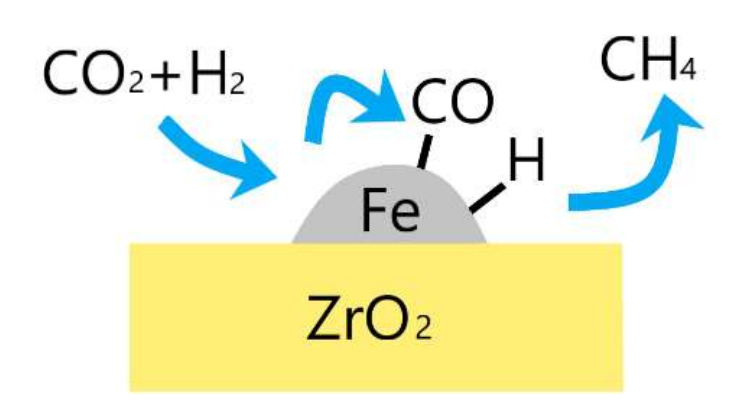
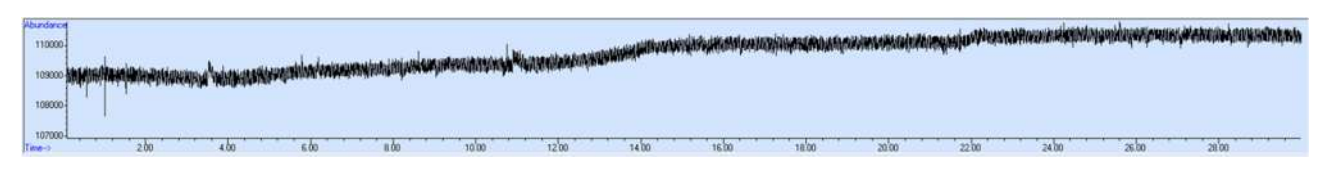
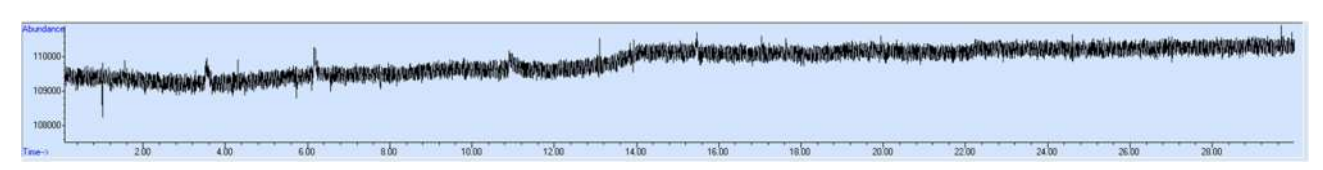


圖 30:添加 Fe 的 ZrO₂ 還原反應 CO+3H₂→CH₄+H₂O 示意圖(研究者繪製)

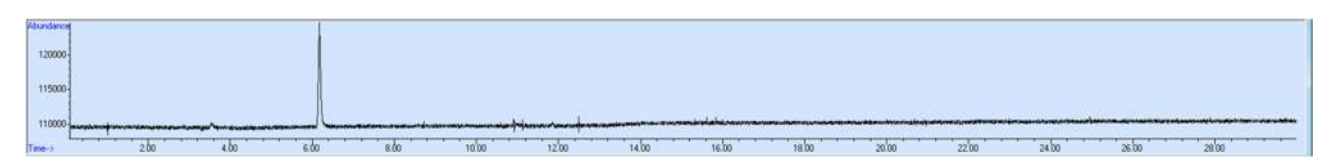
#### 1 wt% Fe-ZrO<sub>2</sub> 300°C



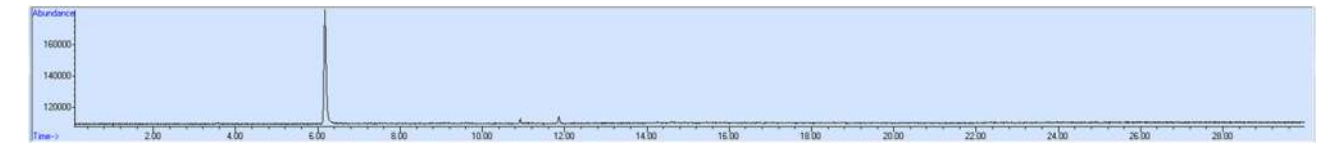
#### 1 wt% Fe-ZrO<sub>2</sub> 400°C



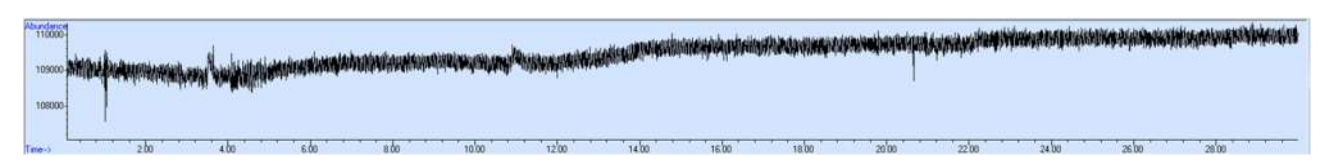
1 wt% Co-ZrO<sub>2</sub> 300°C



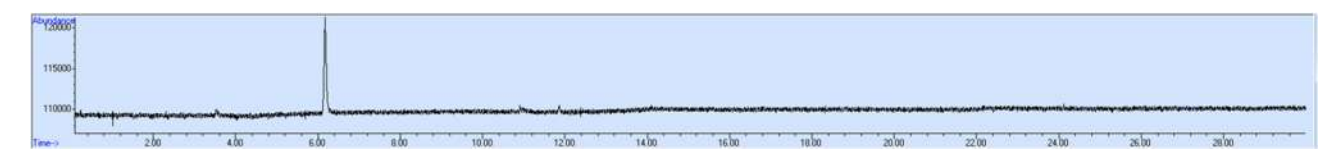
1 wt% Co-ZrO<sub>2</sub> 400°C



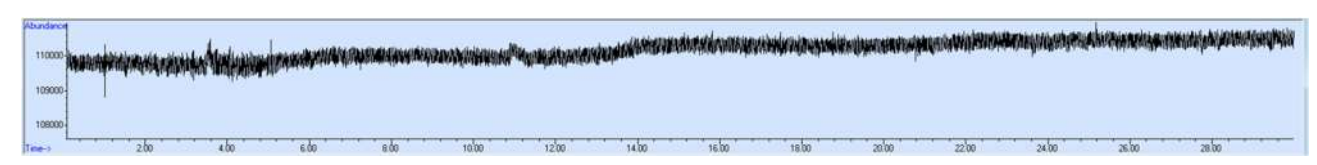
#### 1 wt% Ni-ZrO<sub>2</sub> 300°C



#### 1 wt% Ni-ZrO<sub>2</sub> 400°C



1 wt% Cu-ZrO<sub>2</sub> 300°C



1 wt% Cu-ZrO<sub>2</sub> 400°C

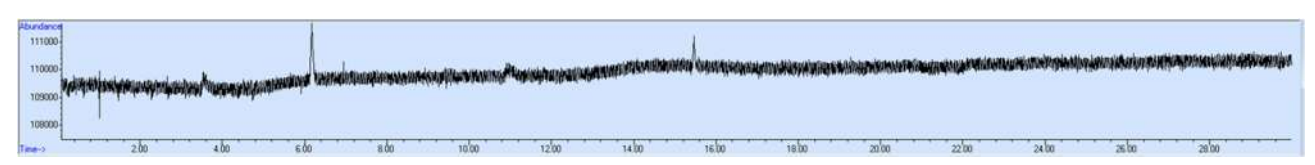


圖 31:GC 分析圖(ZrO<sub>2</sub>添加四種不同金屬在不同溫度的產物)(研究者繪製)

#### 討論:

圖 31 掺雜金屬後的 ZrO<sub>2</sub> QDs 在 300°C 及 400°C 下,相較於沒掺雜金屬的,會有較高純度的 CH<sub>4</sub>和 CO,主要為金屬的活性中心能夠選擇性的促進 CO<sub>2</sub> 優先形成 CH<sub>4</sub>或 CO,而不是分子結構較複雜的不飽和碳氫化合物,特別是在特定溫度範圍內更能有效引導氫化反應生成 CH<sub>4</sub>,隨著溫度上升,反應的趨勢會偏向產生 CO,而選擇性也生成 CO 為主,摻雜鎳或銅的 ZrO<sub>2</sub> QDs 則在低溫下無法有效轉化 CO<sub>2</sub>,主要為鎳和銅的催化活性相對較低,導致轉換率不明顯。因此,加入金屬後,有助於提升反應的選擇性,抑制副產物生成。

## 伍、結論與應用

#### 一、結論

在本研究中,成功利用水熱法合成了尺寸約為 3.9 nm 的 ZrO<sub>2</sub>量子點 (QDs),並探討了不同處理條件及金屬摻雜對其光吸收特性及 CO<sub>2</sub>氫化反應的影響。研究顯示,ZrO<sub>2</sub> QDs 在紫外光區及可見光區吸收較低,因而在長期照光條件下具備較佳的穩定性,不易因紫外線生成自由基破壞塗料,可以延長其在塗料的穩定性和抗降解能力。此外,ZrO<sub>2</sub> QDs 的晶格缺陷具有的活性位點的功能在 CO<sub>2</sub>氫化反應中扮演重要的角色,可進一步提高了 CO<sub>2</sub>轉化效率,有望達成有效減碳效果。

在金屬摻雜的影響方面,摻雜 Fe 的 ZrO<sub>2</sub> QDs 在低溫下展現了更高的 CH4選擇性,這主要歸功於其與 ZrO<sub>2</sub> QDs 間的電子協同效應,促進了多電子轉移過程,有利於甲烷生成。然而,隨著溫度升高,不同金屬摻雜的 ZrO<sub>2</sub> QDs 在反應產物選擇性上呈現顯著變化,促使反應更傾向於生成 CO,進一步增加了 CO<sub>2</sub>的轉換率。整體而言,ZrO<sub>2</sub> QDs 在不同溫度及金屬摻雜條件下能夠有效調控反應產物,提升了 CO<sub>2</sub>氫化反應的穩定性及選擇性,研究結果顯示出除了可在修復塗料的應用,還可提供長期的減碳潛力。

## 二、本研究未來之應用

- (一) ZrO<sub>2</sub> QDs 應用於古蹟塗料之潛力
  - 1. 環境友善性:

由於  $ZrO_2$  QDs 相對於  $TiO_2$  是較無毒的材料,可以用於更環保的修復古蹟,符合永續發展的需求。

#### 2. 提高塗料的耐久性:

ZrO<sub>2</sub> QDs 在紫外線的吸收力較低,使其能夠提升塗料的整體耐久性,減少頻繁重塗的需求,並降低維護成本。

#### 3. 抗菌:

未來可在  $ZrO_2$  QDs 粉末中添加抗菌物質,如:銀離子、銅離子,可進一步提高塗料的壽命。

- (二) ZrO<sub>2</sub> QDs 在熱催化還原 CO<sub>2</sub>中的優勢
  - 1. 氧空位:ZrO<sub>2</sub> QDs 中的氧空位有助於 CO<sub>2</sub>分子的活化和吸附。氧空位可以促進 CO<sub>2</sub>的表面吸附,從而加速後續的反應步驟。這對於提高催化劑的 CO<sub>2</sub>還原能力至關重要 ZrO<sub>2</sub> QDs 中的氧空位有助於 CO<sub>2</sub>分子的活化和吸附。氧空位可以促進 CO<sub>2</sub>的表面吸 附,從而加速後續的反應步驟。
  - 2. 產生多種產物: $ZrO_2$  QDs 進行不同處理後會有不同的反應及產物產生,可根據需求 調整,將  $CO_2$  轉換為有價值的物質,進行再利用。
  - 3. ZrO<sub>2</sub> QDs 能作為載體,在高溫有效的將 CO<sub>2</sub> 氫化,將其轉換為其他有價值的物質,如: CH<sub>4</sub>、CO、其他二、三碳產物。可幫助達成減碳及永續發展的目標,符合 SDGs 第 11 項永續城鄉及第 13 項氣候行動。

## 陸、參考文獻

- [1] Khan, S. U. M., Al-Shahry, M., & Ingler Jr, W. B. (2002). Efficient photochemical water splitting by a chemically modified n-TiO2. *Science*, 297(5590), 2243-2245.
- [2] Robertson, J. (2004). High dielectric constant oxides. *European Physical Journal Applied Physics*, 28(3), 265-291.
- [3] Wang, Z. L. "Transmission electron microscopy of shape-controlled nanocrystals and their assemblies." *The Journal of Physical Chemistry B* 104.6 (2000): 1153-1175.
- [4] Sun, C., Li, H., & Chen, L. "Nanostructured ceria-based materials: synthesis, properties, and applications." *Energy & Environmental Science* 5.9 (2012): 8475-8505.
- [5] Zhao, Y., Liu, R., & Lu, J. (2017). Impact of metal doping on oxygen vacancy formation and catalytic efficiency in metal oxide catalysts. Journal of Catalysis, 352, 325-332. DOI: 10.1016/j.jcat.2017.04.005.
- [6] Chen, C., Zhang, Y., & Dai, H. (2012). *Transition metal doping effects on metal oxide nanocatalysts: Activity, selectivity, and stability*. Catalysis Science & Technology, 2(2), 253-258. DOI: 10.1039/C1CY00347H.

## 【評語】030022

以水熱法在 110°C 下合成了約 3.90 nm 大小的 Zr02。此設計的 Zr02 能隙為 5.03 eV (波長 λ < 300 nm),在可見光和紫外光範圍內無明顯吸收特徵。Fe 金屬簇表面修飾後,Fe-Zr02 被證明為最佳催化劑,低溫下更有效促進 CH4生成,且優於 Zr02。這顯示 Fe 與Zr02 間存在顯著的強金屬-載體相互作用 (SMSI),提升 Fe 捕捉 CO2分子的能力。此特性突顯 Zr02 於碳減排技術的潛力,能有效將 CO2轉化為可再利用的碳基燃料或化學原料。材料的應用性可以有更多的表述。學生的研究努力值得鼓勵。